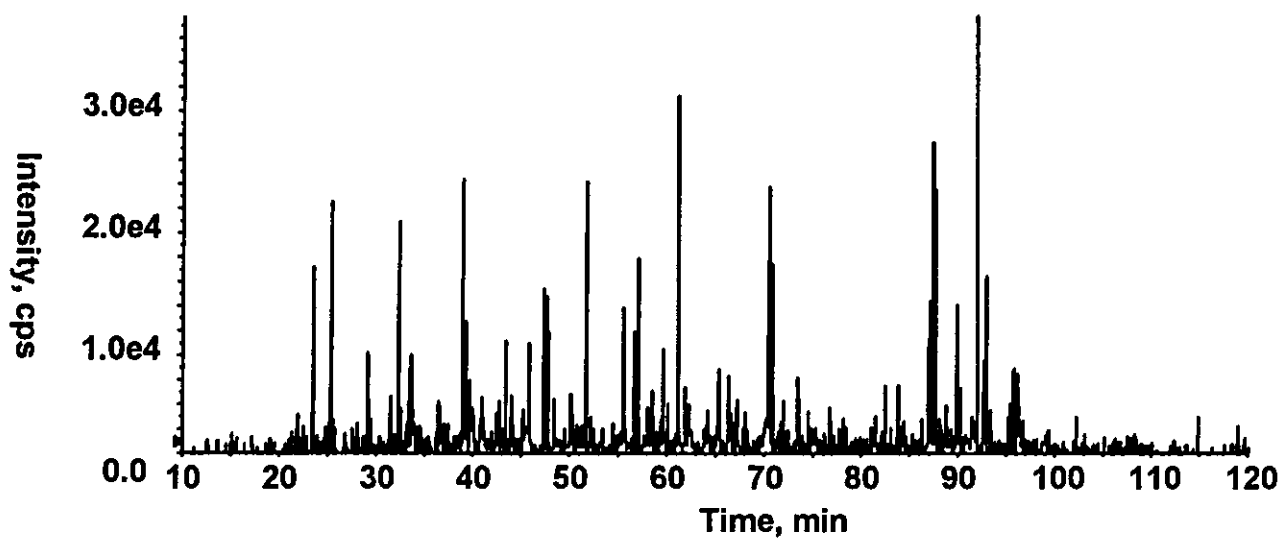
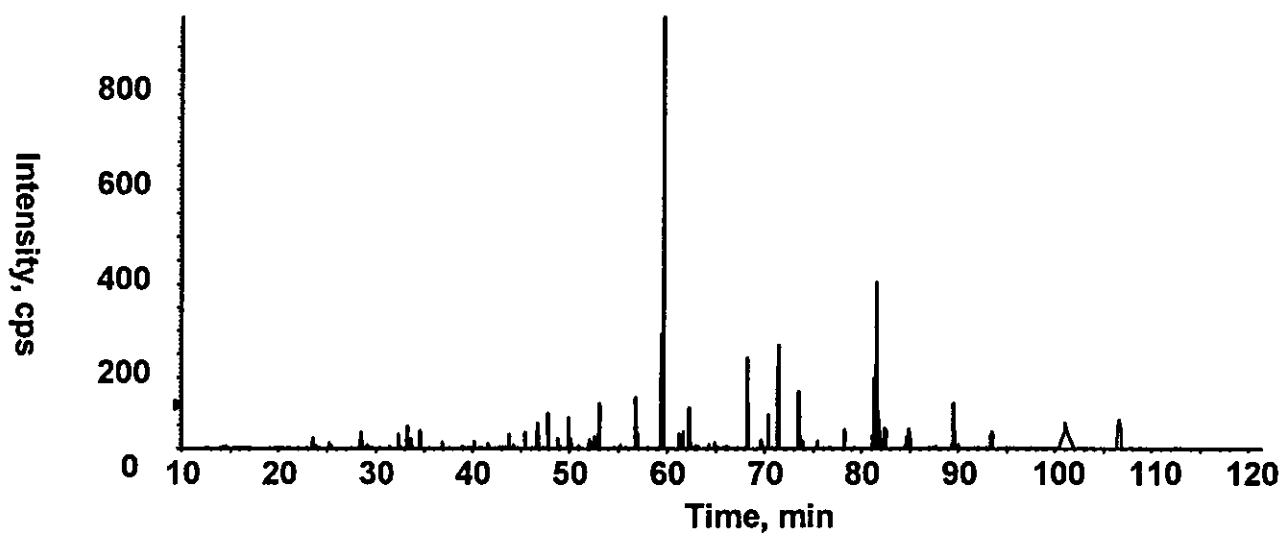


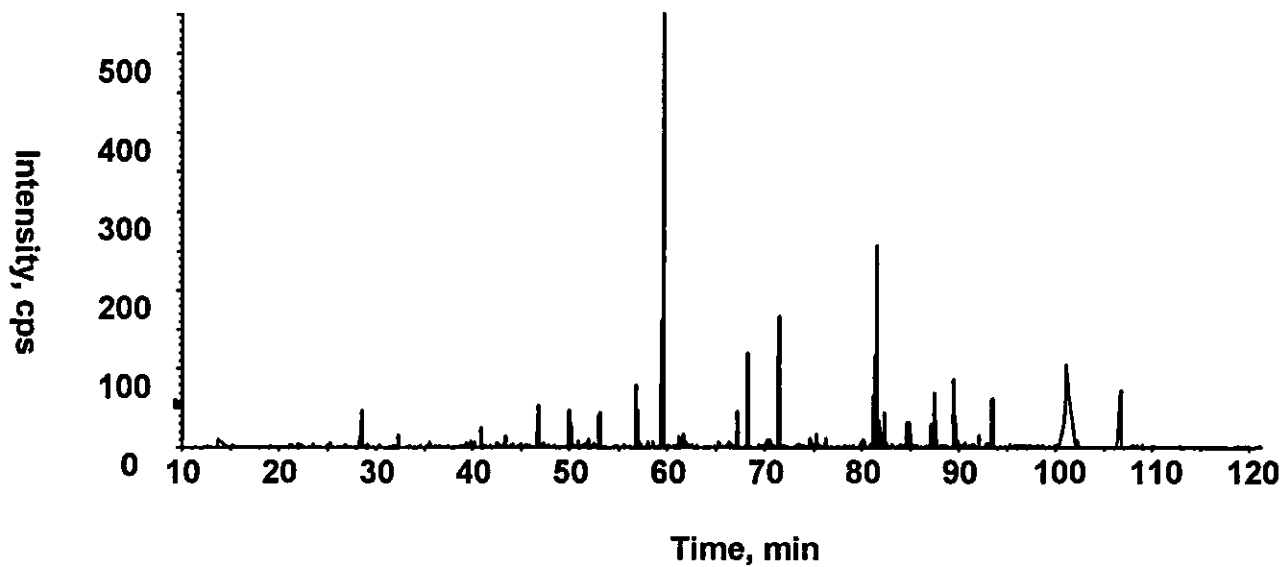
(B) Product ion scan at m/z 100-2000



(C) Product ion scan at m/z 204

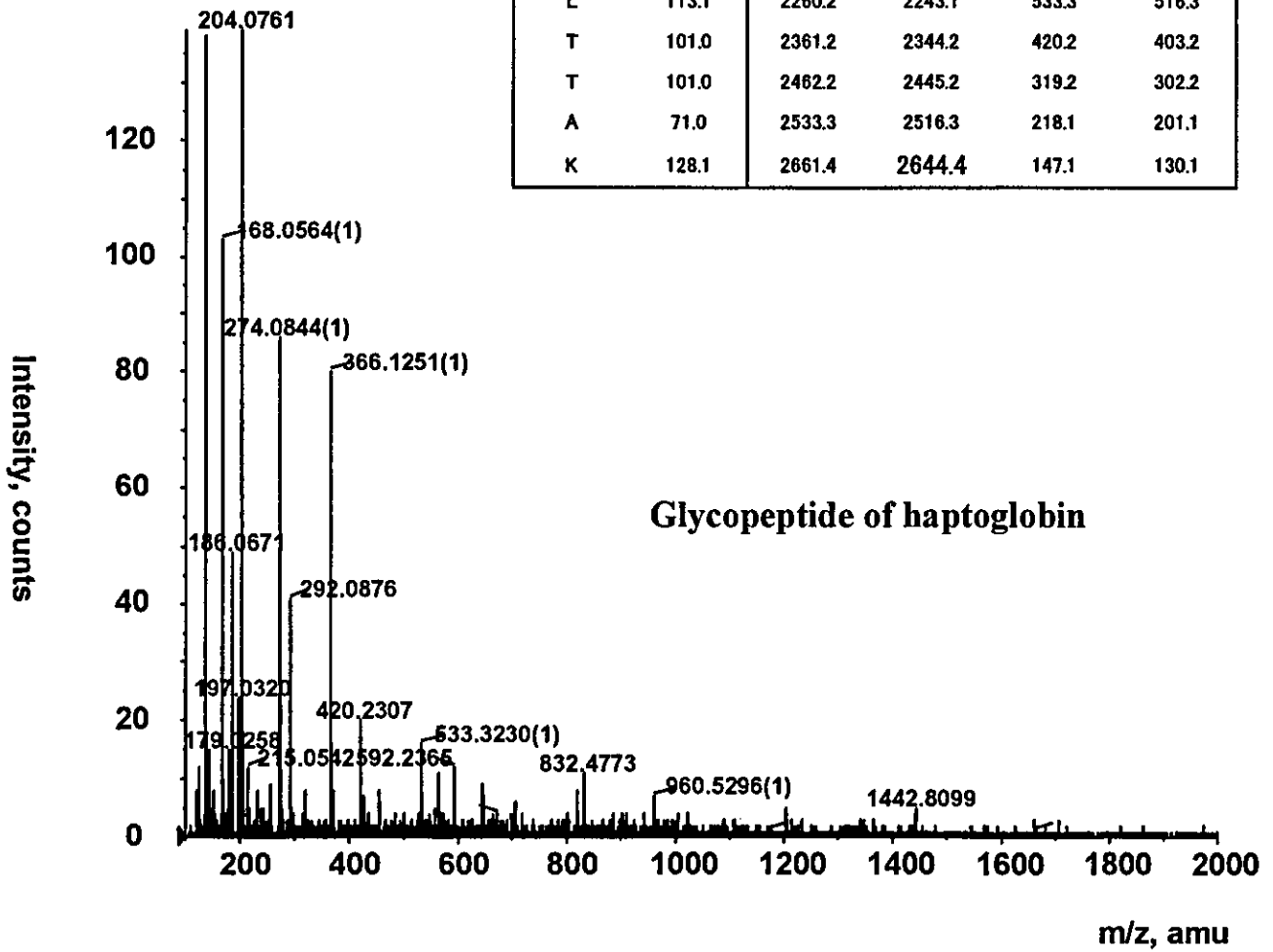


(D) Product ion scan at m/z 366



Residue	Mass	b	b-NH3	y	y-NH3
M	131.0	132.0	115.0	2679.4	2662.4
V	99.1	231.1	214.1	2548.4	2531.3
S	87.0	318.1	301.1	2449.3	2432.3
H	137.1	455.2	438.2	2362.3	2345.2
H	137.1	592.3	575.2	2225.2	2208.2
N	114.0	706.3	689.3	2088.1	2071.1
L	113.1	819.4	802.4	1974.1	1957.1
T	101.0	920.4	903.4	1861.0	1844.0
T	101.0	1021.5	1004.5	1760.0	1742.9
G	57.0	1078.5	1061.5	1658.9	1641.9
A	71.0	1149.5	1132.5	1601.9	1584.9
T	101.0	1250.6	1233.6	1530.9	1513.8
L	113.1	1363.7	1346.7	1429.8	1412.8
I	113.1	1476.8	1459.7	1316.7	1299.7
N	114.0	1590.8	1573.8	1203.6	1186.6
E	129.0	1719.8	1702.8	1089.6	1072.6
Q	128.1	1847.9	1830.9	960.6	943.5
W	186.1	2034.0	2017.0	832.5	815.5
L	113.1	2147.1	2130.0	646.4	629.4
L	113.1	2260.2	2243.1	533.3	516.3
T	101.0	2361.2	2344.2	420.2	403.2
T	101.0	2462.2	2445.2	319.2	302.2
A	71.0	2533.3	2516.3	218.1	201.1
K	128.1	2661.4	2644.4	147.1	130.1

M.W. 4882.8
 Peptide 2678.4
 CHO 2222.8



☒38 Product ion spectrum of $M^+(m/z1221.7^{3+})$ at 26 min

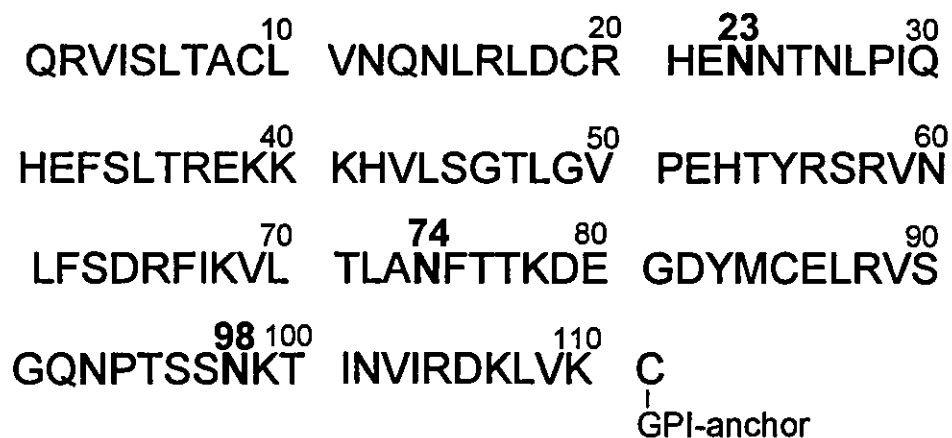
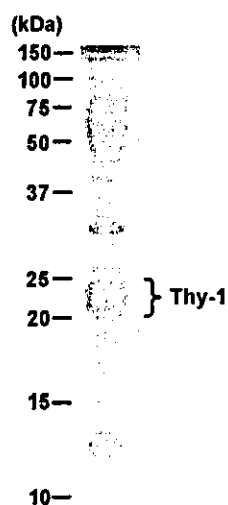


图39 Separation of soluble GPI-proteins in rat brain by SDS-PAGE, and amino acid sequence of rat Thy-1 (Bold, N-glycosylation site)

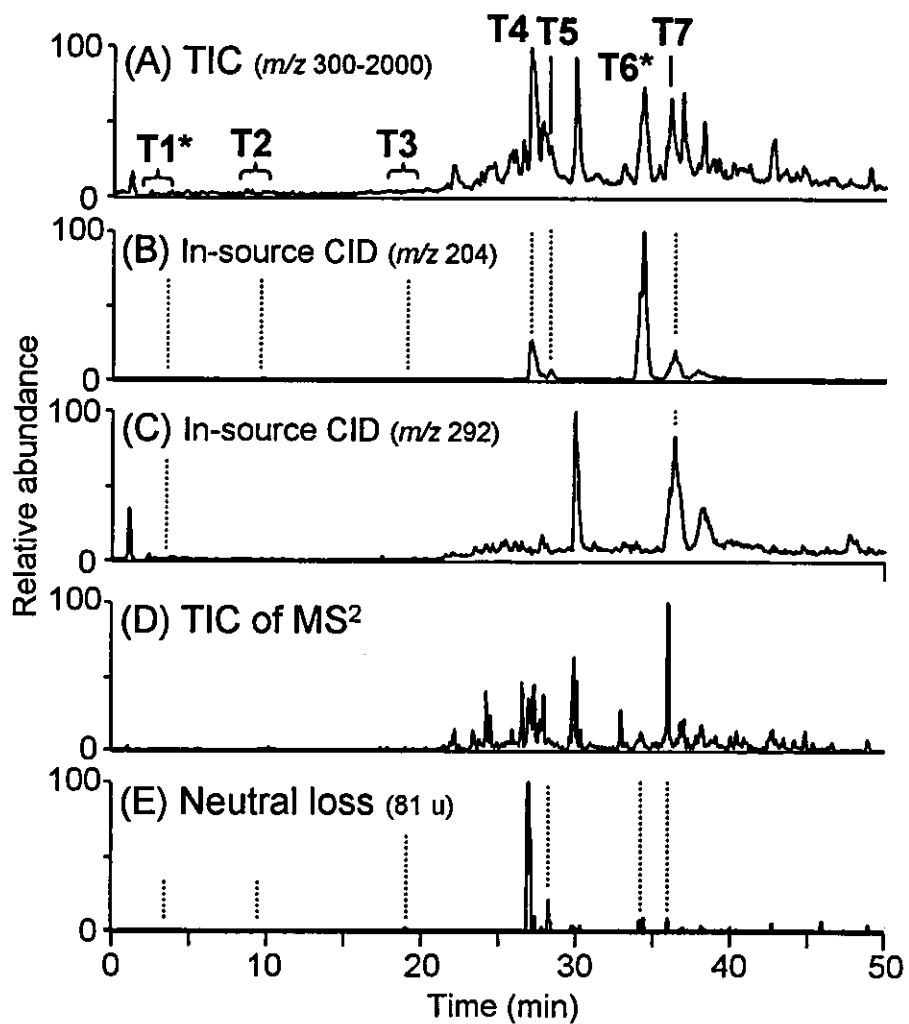


图40 Total ion (m/z 300-2,000) chromatogram of trypsin-digested Thy-1(A), mass chromatograms of m/z 204(B), and m/z 292(C) ion produced by in-source CID, total ion chromatogram of product ions by data-dependent CID MS² (D), and mass chromatogram of neutral loss ions (81 u) by MS² (E)

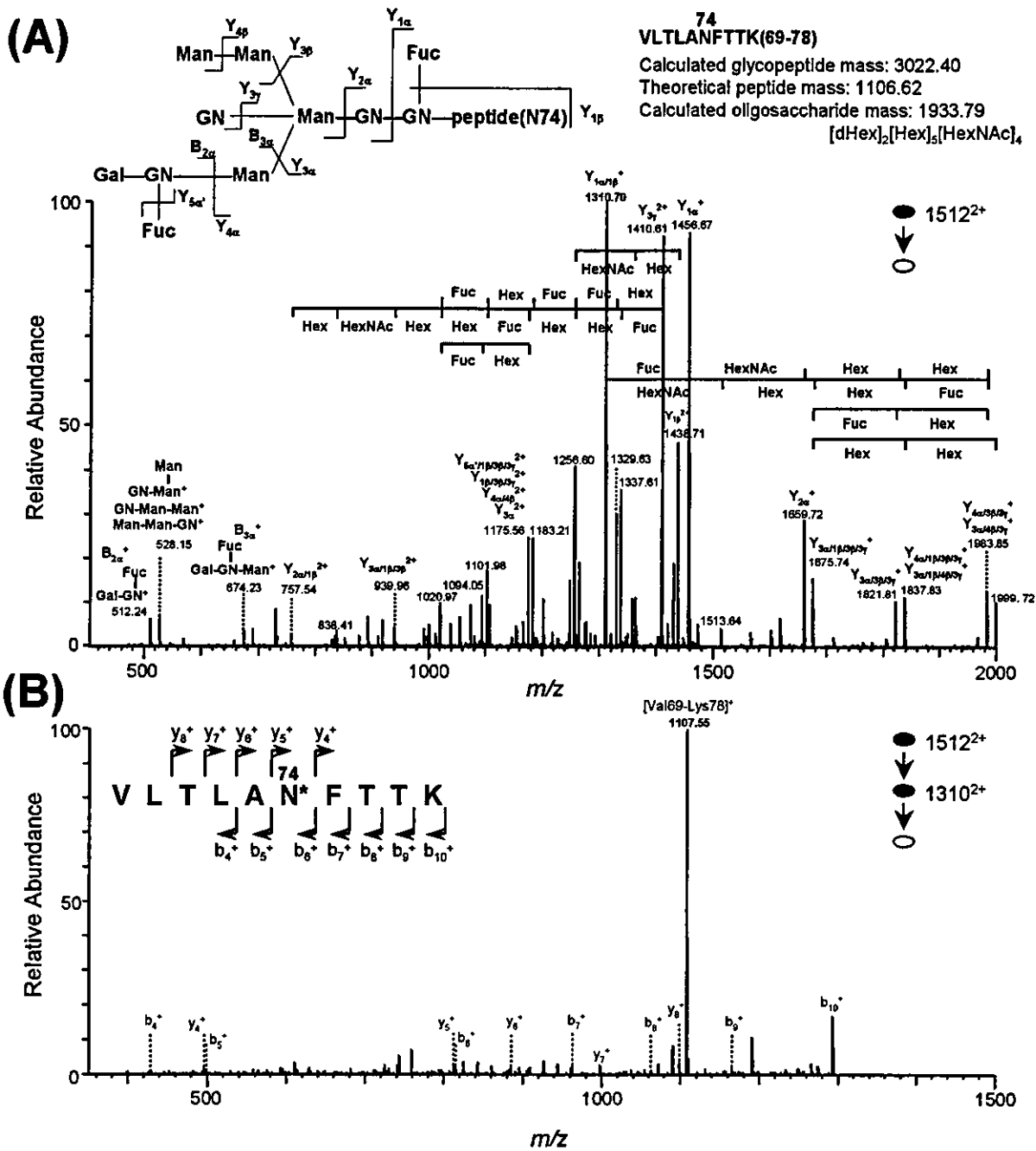


图41 MS² (A), MS³ (B), and MS⁴ (C) spectrum of glycopeptide ion (m/z 1512.21²⁺) in peak T3

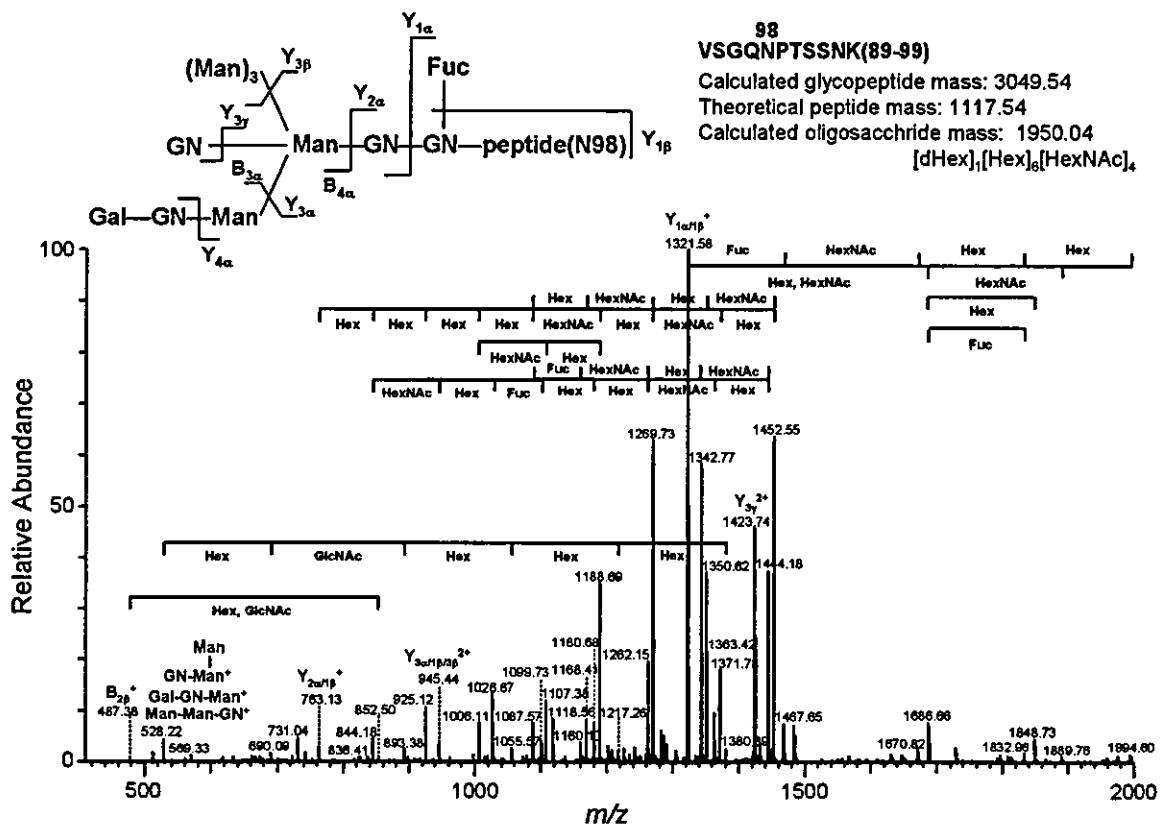
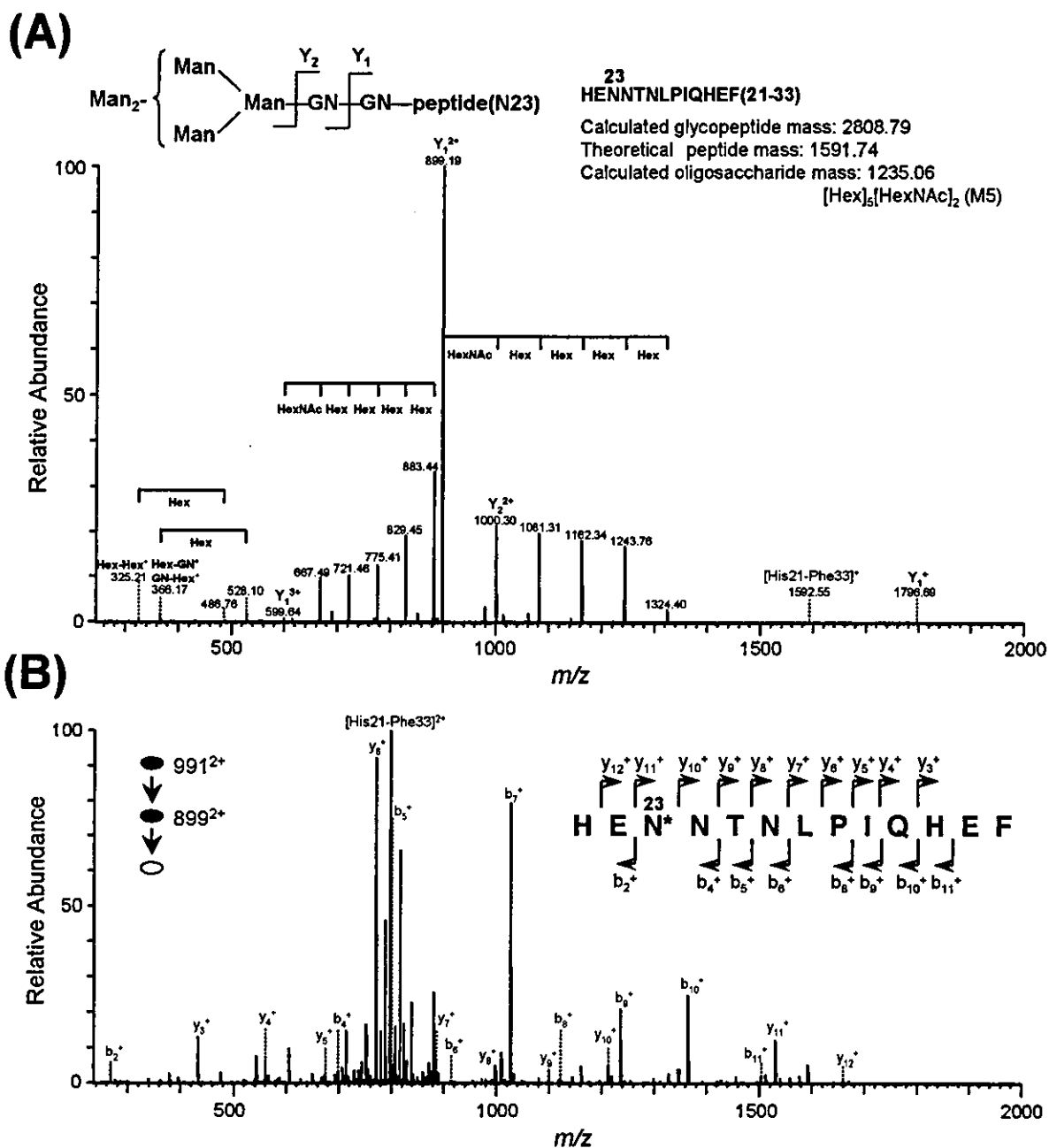


Figure 42 product ion spectrum of glycopeptide ion (m/z 1525.78²⁺) in peak T1



☒ 43 MS² (A) and MS³ (B) spectra of glycopeptide ion (*m/z* 937.27³⁺) in peak T4

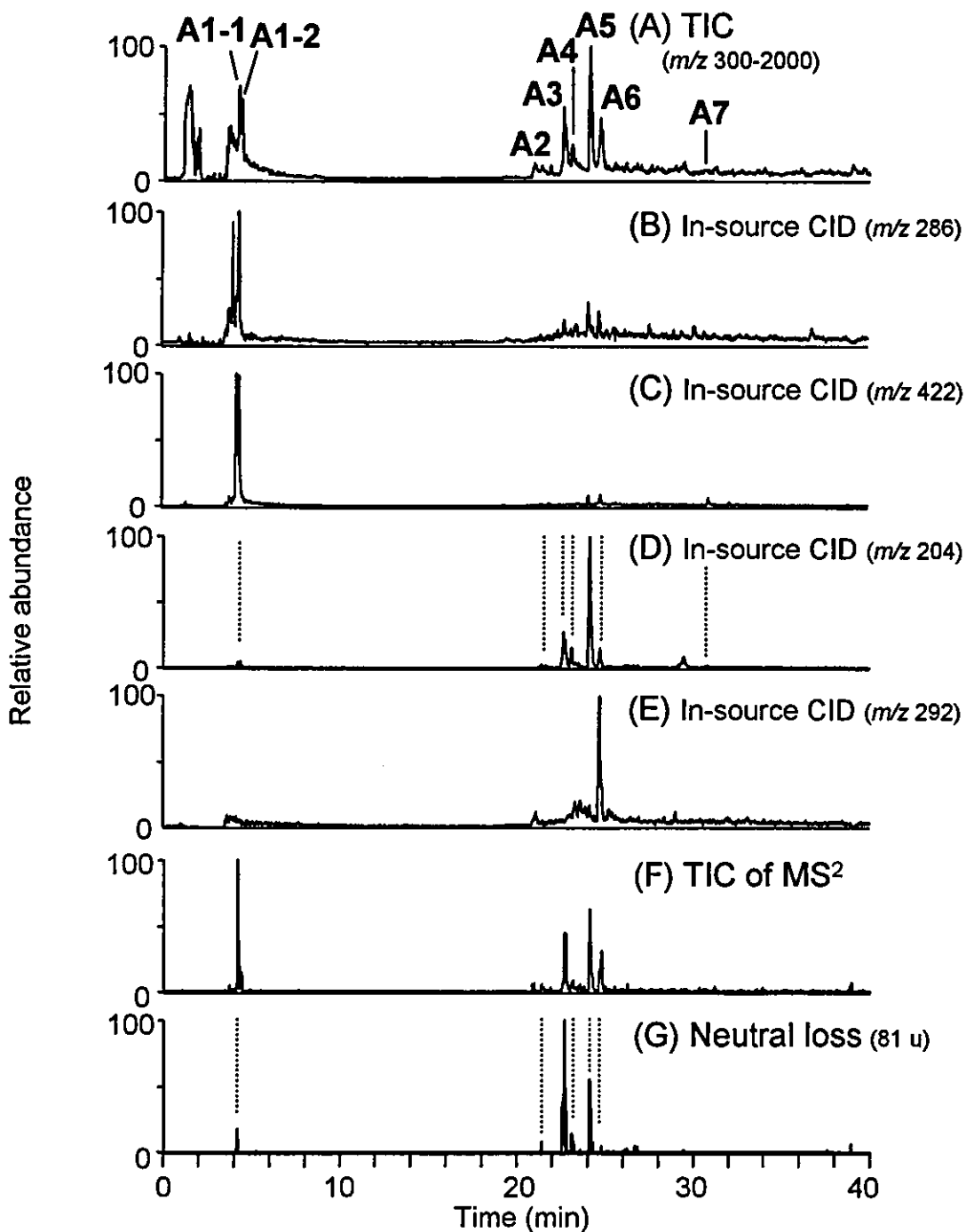


图44 Total ion (m/z 300-2,000) chromatogram of AspN-digested Thy-1(A), mass chromatograms of m/z 204(B), m/z 292(C), m/z 286 (D), and m/z 422 ion produced by in-source CID, total ion chromatogram of product ions by data-dependent CID MS² (F), and mass chromatogram of neutral loss ions (81 u) by MS² (G)

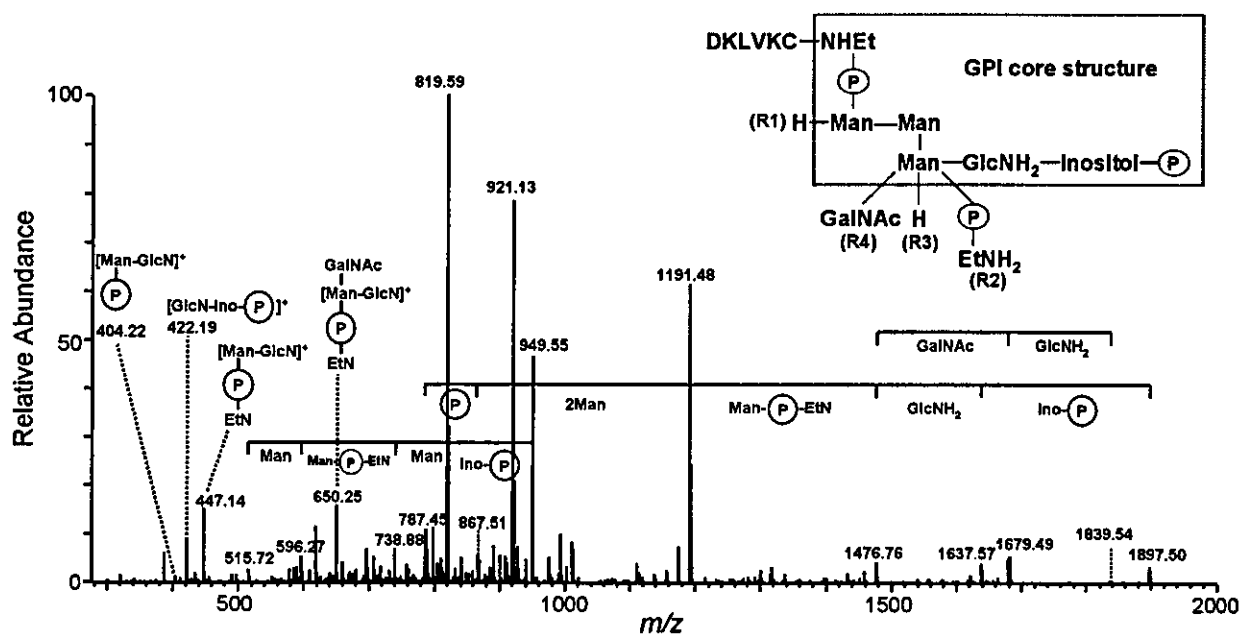


图45 Product ion spectrum of GPI-peptide (m/z 1050.89²⁺) in peak A1, and 2

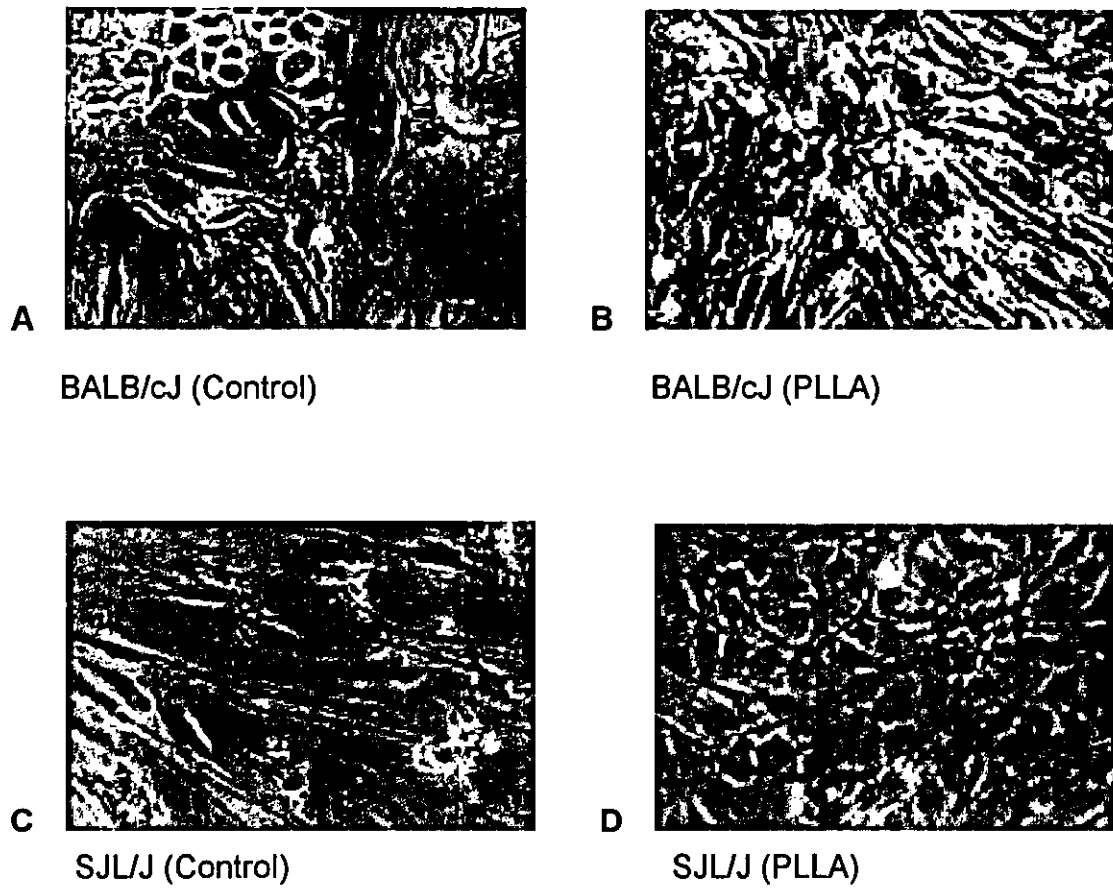


図46. 細胞の形態

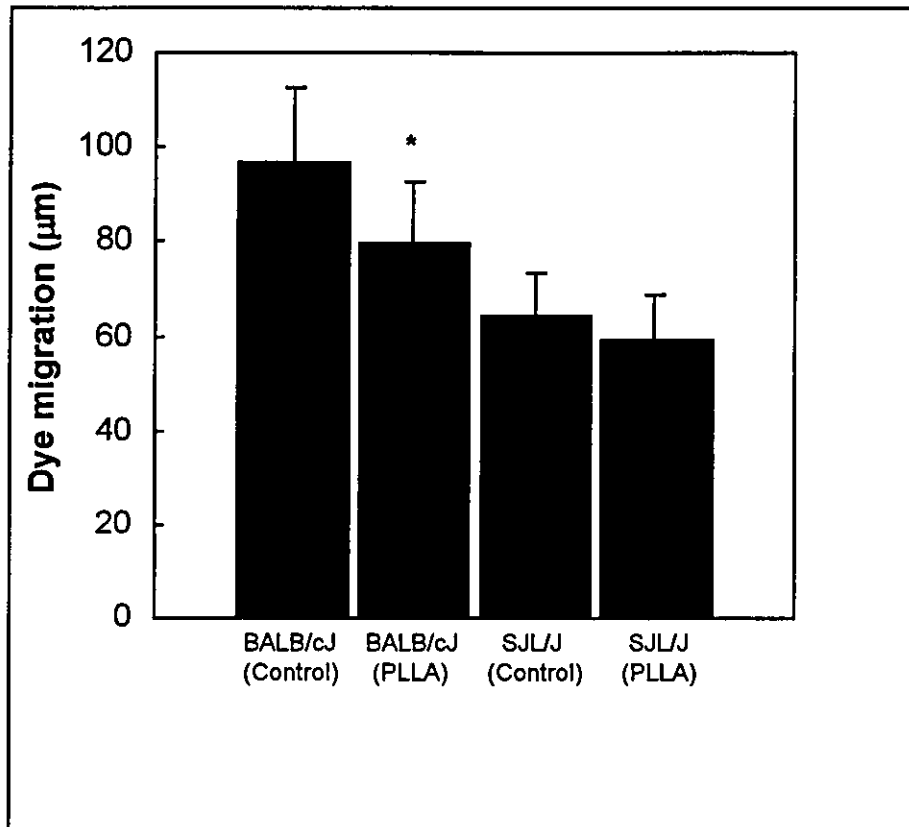


図47. SLDT 測定

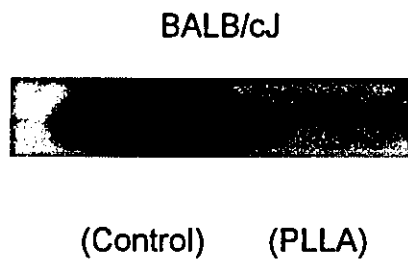


図48. Western Blot 法による Cx43 タンパク質の発現

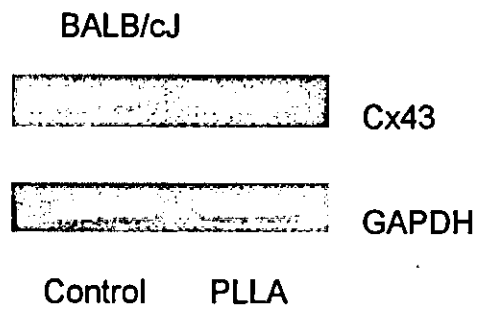


図49. RT-PCR による Cx43 の mRNA 発現

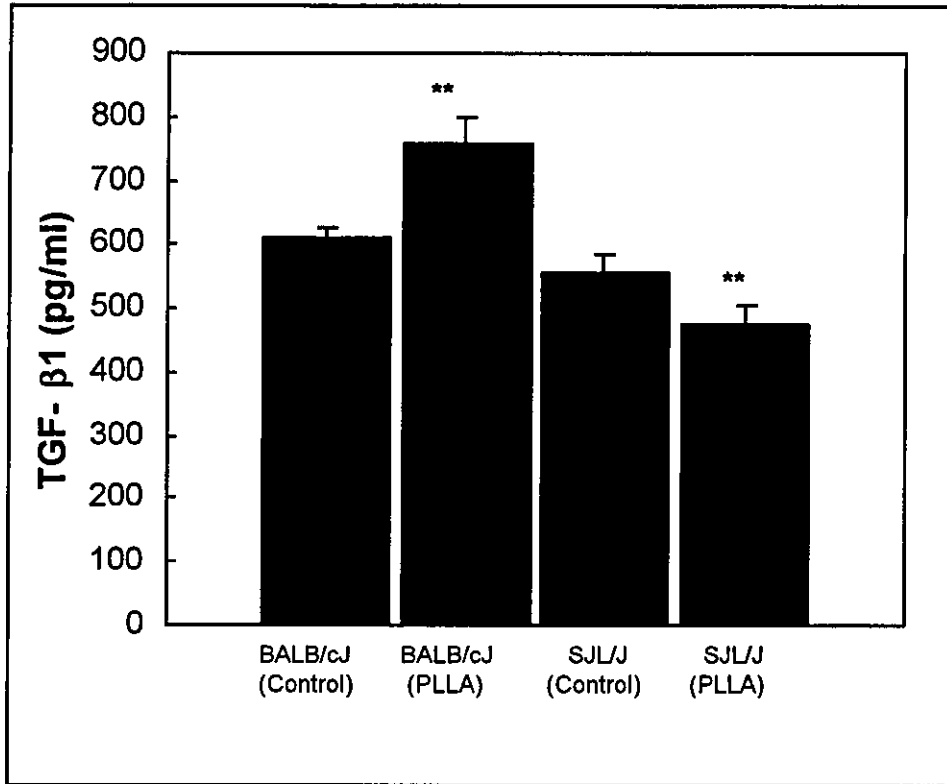


図50. TGF-β1 分泌レベルについて

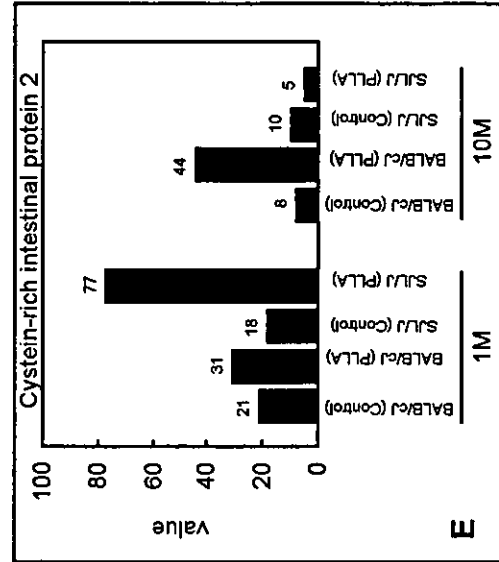
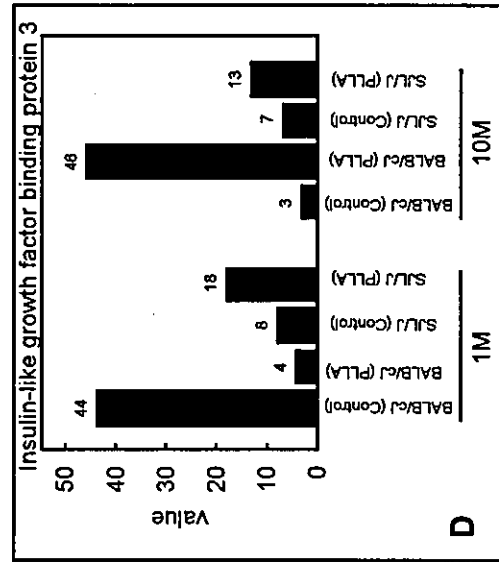
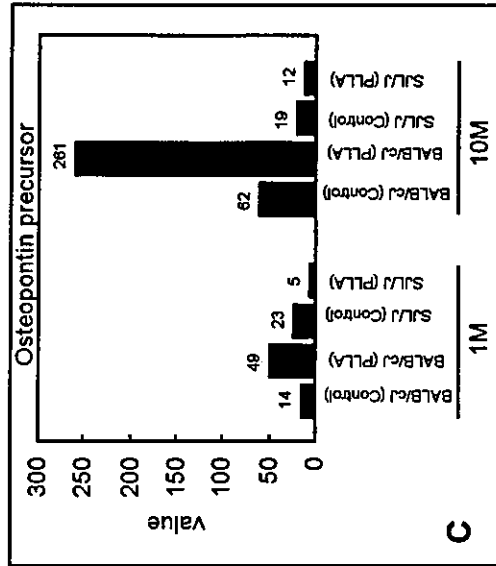
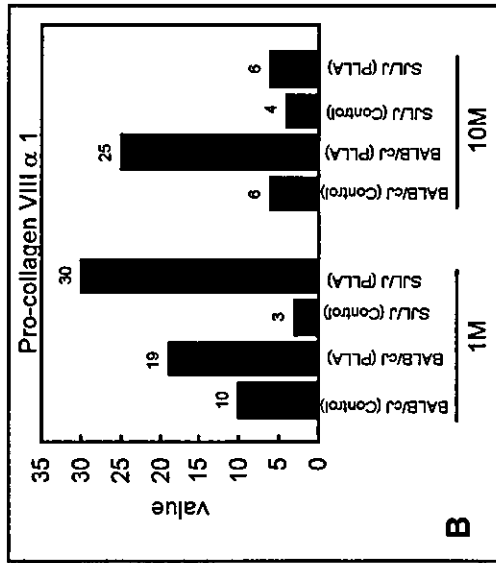
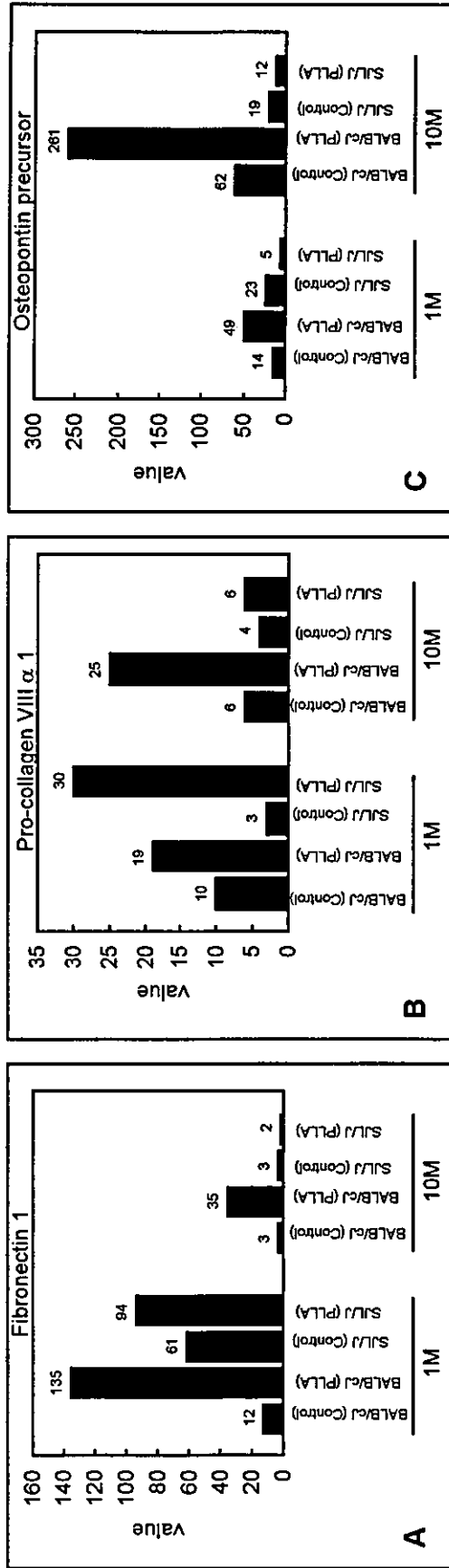


図51. DNA チップ解析結果

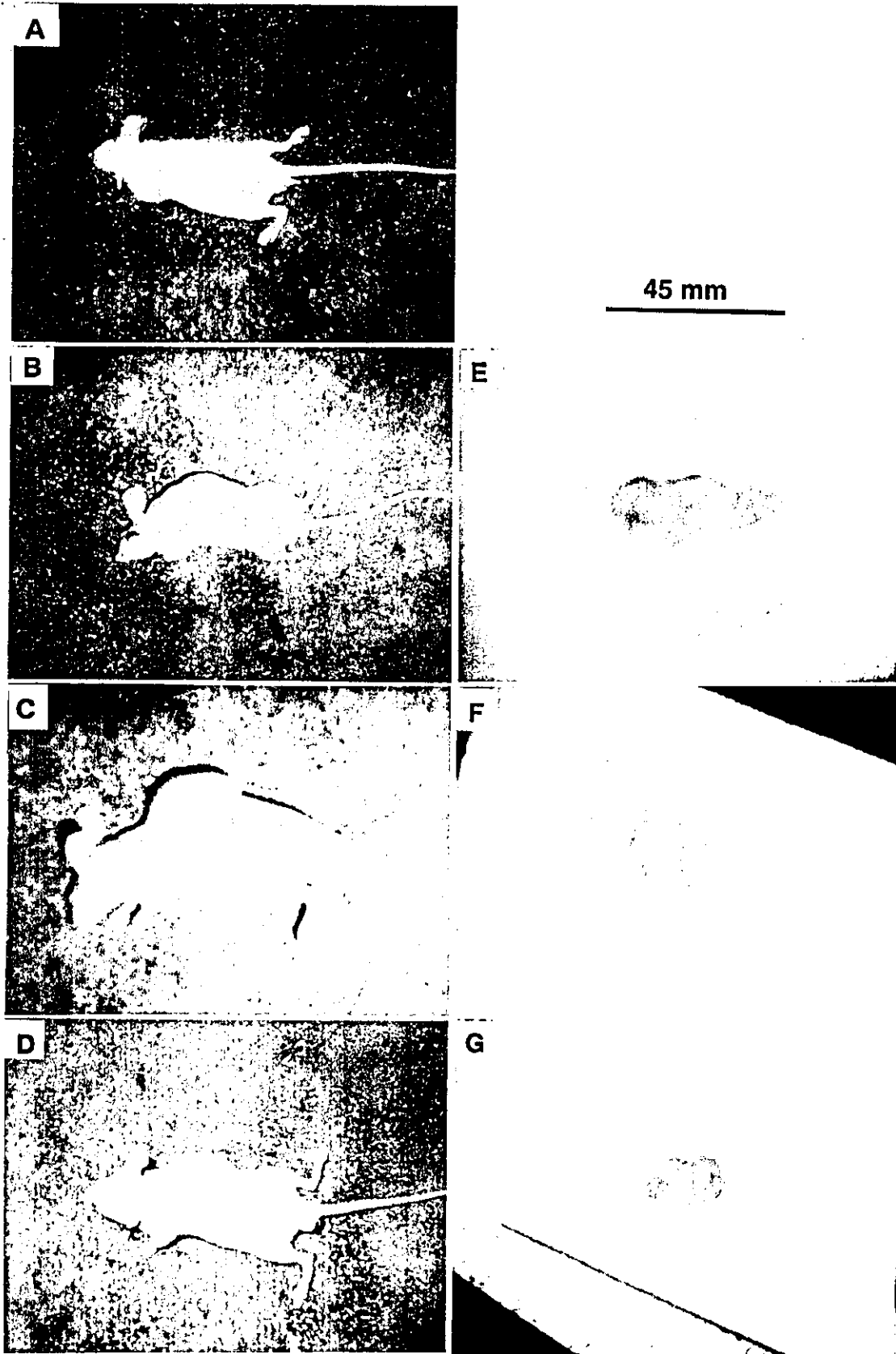


図52. ノードマウスを用いた発癌検討

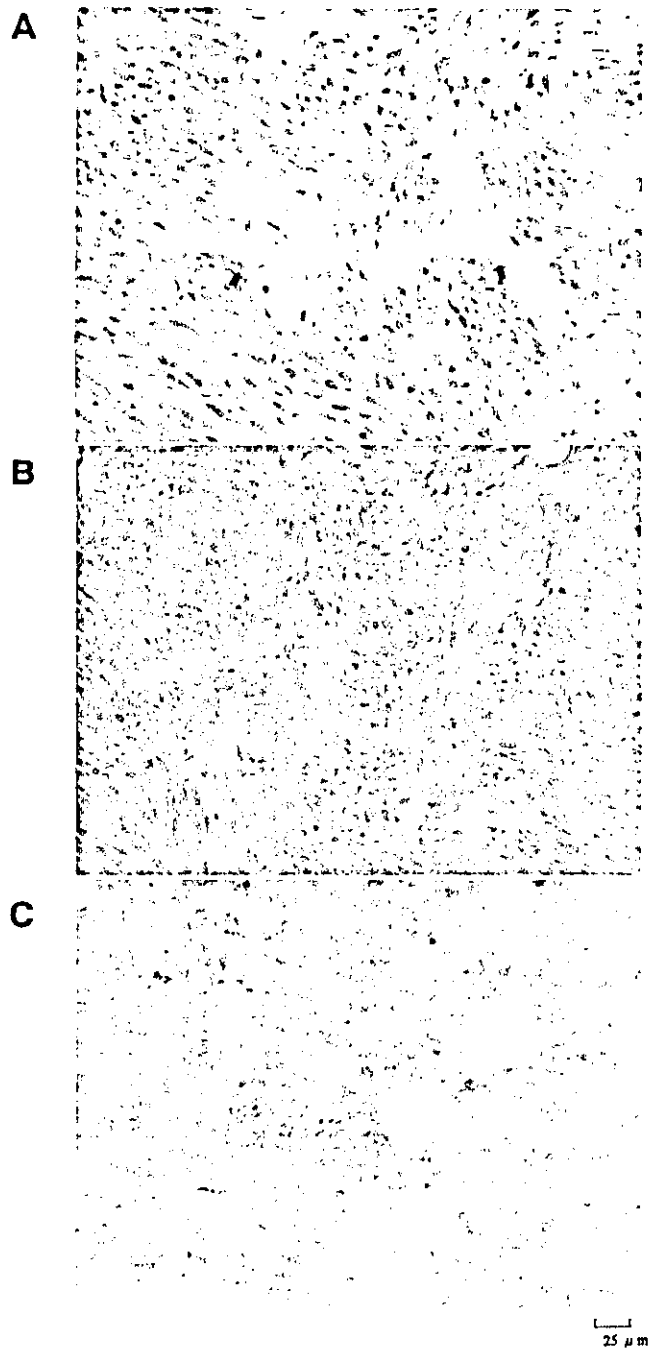


図53. 組織病理学的評価

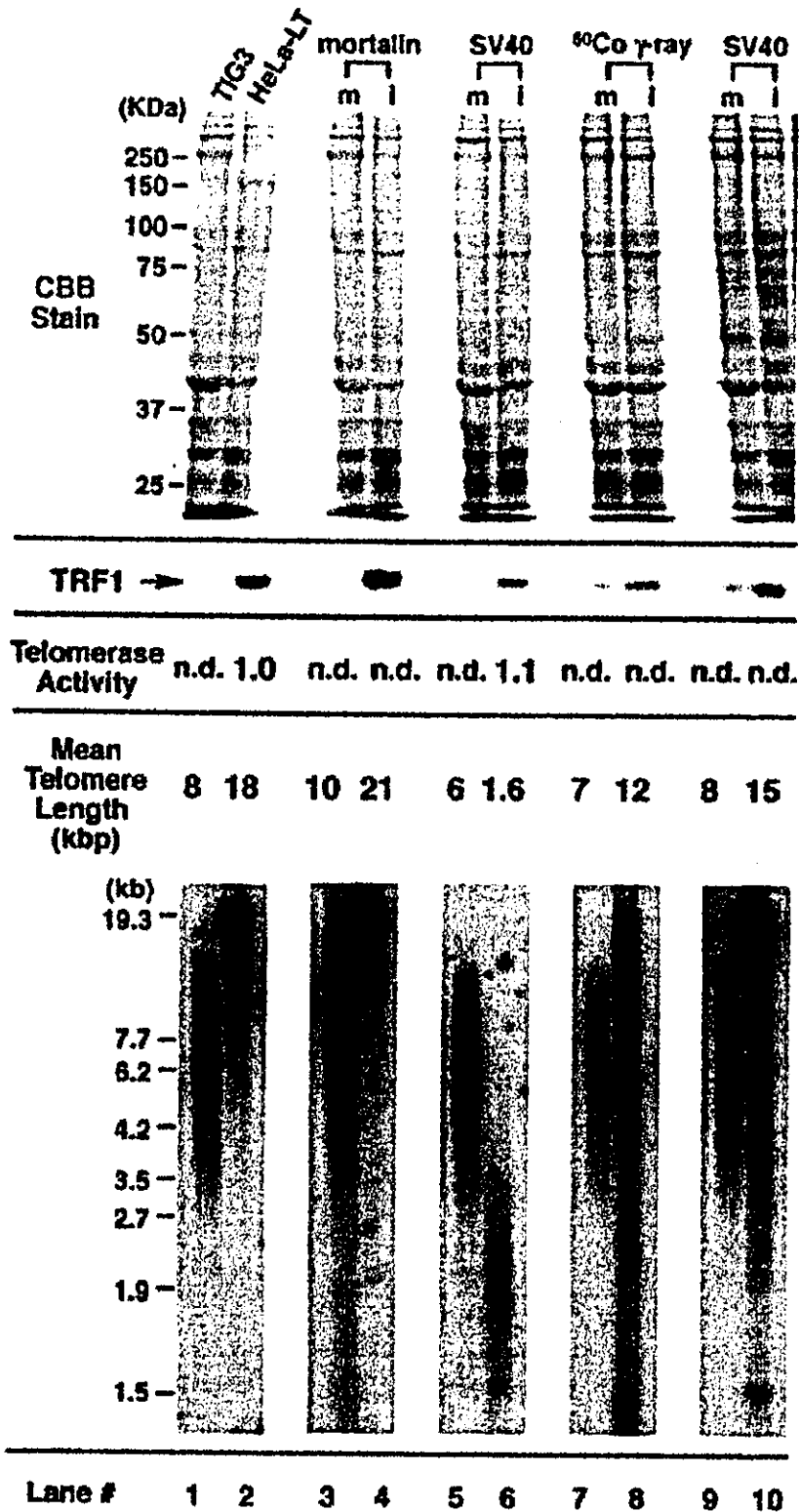


図54 種々の方法で不死化したヒト繊維芽細胞のTRF1の発現

ヒト初代繊維芽細胞を、モータリン、SV40、⁶⁰Co照射を用いて不死化したときのTRF1の発現を調べた。各細胞のクマジー染色の結果とTRF1のウエスタンブロッティングによる結果 (TRF1) 及びテロメラーゼ活性を示す。mは不死化する前の細胞、llは不死化した細胞を示す。
 下段のレーンは、1: TIG3細胞、2: HeLa-LT細胞、3: 正常TIG細胞、4: 不死化したTIG細胞、5: 正常MRC5細胞、6: SV-40感染MRC5細胞、7: 正常KMS6細胞、8: ⁶⁰Co不死化KMS6細胞、9: 正常WI38細胞、10: SV-40感染WI38細胞

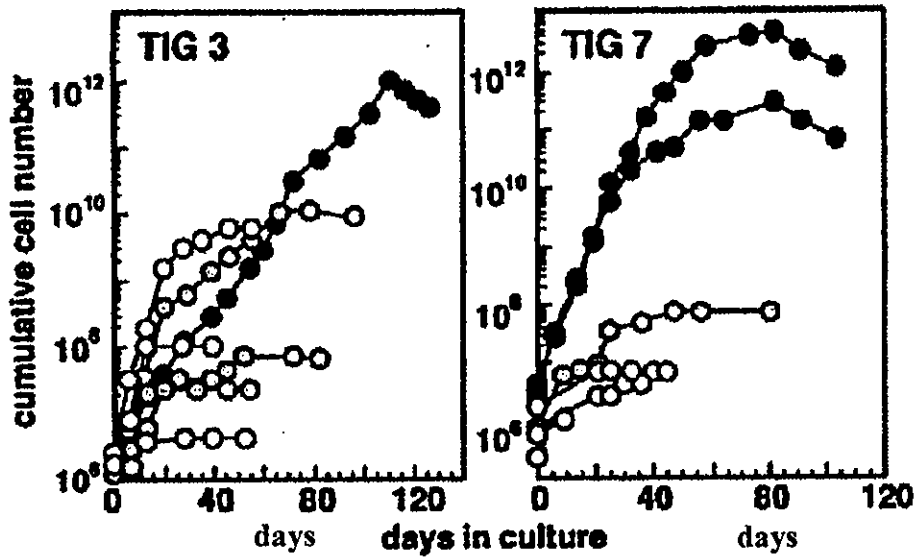
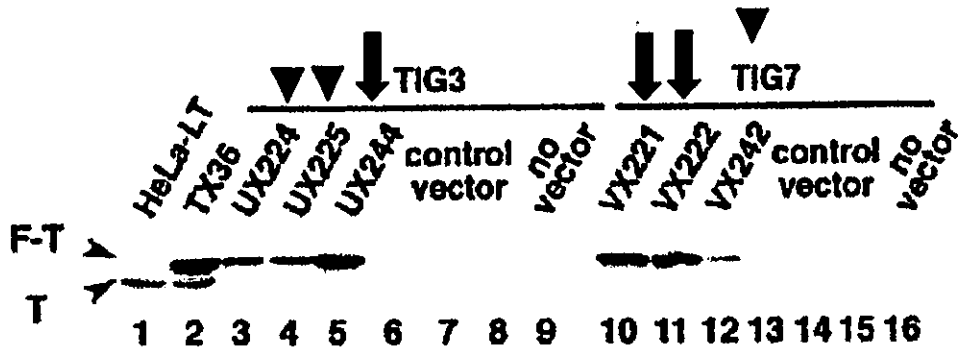
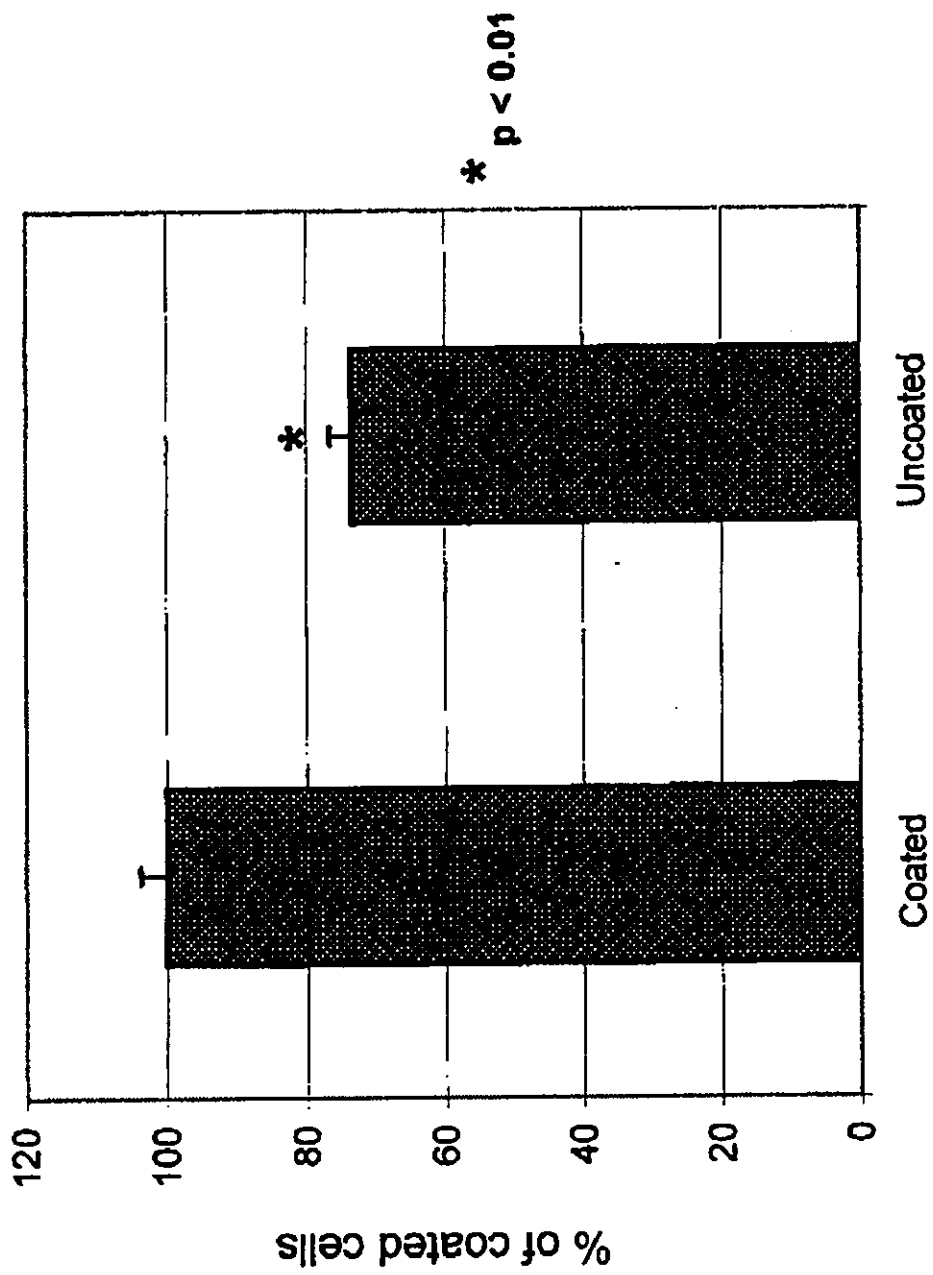


図 55 TIG3細胞及びTIG7細胞にTRF1遺伝子をトランスフェクトしたときのTRF1の発現と細胞寿命の関係
 TIG3細胞及びTIG7細胞にTRF1遺伝子をトランスフェクトして、いくつかのクローンを分離した。それぞれTRF1を強く発現しているクローン(上段:UX244、VX221、VX222;下段、●)、及び中程度にTRF1を発現しているクローン(上段:U224、U225、VX242;下段、◐)、トランスフェクトしていない細胞(上段:コントロールベクター;下段、○)

Cell Viability Assay



Three days culture

図56 骨髓リンパ球(BML)細胞の生存率

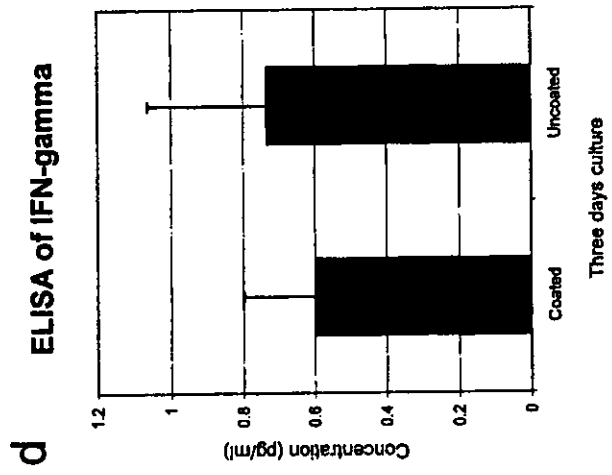
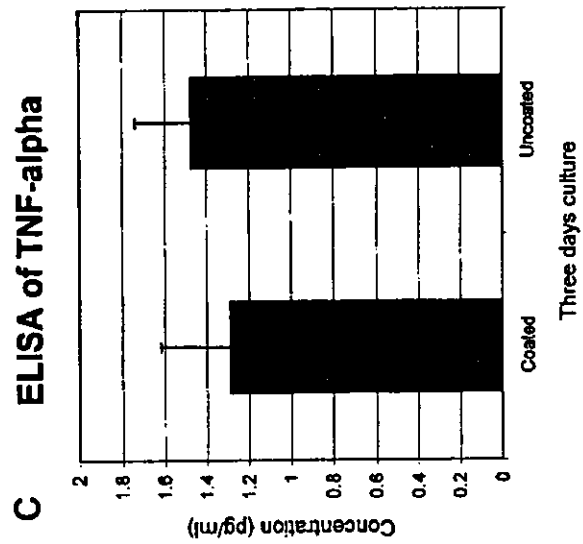
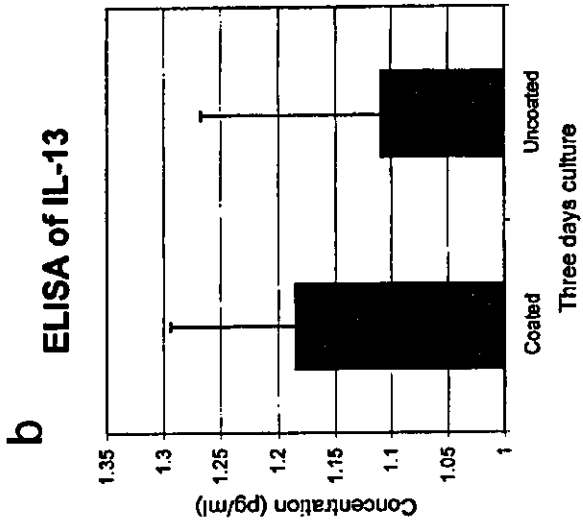
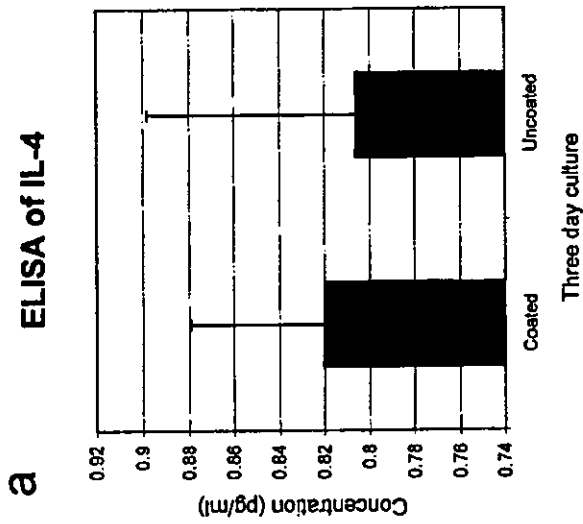


図57 リンパ球細胞中のサイトカイン産生